

水面又は水底の鉛直運動による波の発生理論

九州大学工学部 正員○井島武士

" " " 田淵幹修

" " " 湯村やす

概要

著者は嘗て、水面に固定された水平板に対する波の作用を解明するのに、水面および水底条件を満足する速度ポテンシャルを求め、その任意常数を境界面の mass flux と energy flux の連続性の条件から無限連立一次方程式を解くことによって定めうる方法を用いたが、そこで得た方法の拡張にて、水面又は水底の一部領域からも鉛直正弦運動を行ふ場合に発生する波の性質を解明するもので、現在まで多くの実験的研究が行はれてゐる 浮体による防波堤の効果を理論的に解明するための方法を確立する目的的研究である。

1 水底の鉛直運動による波の発生

Fig. 1 に示すように、一定水深 h の海域の長さ $2l$ の部分が振幅 a frequency ω をもつて正弦運動を行ふとき発生する波を求めるもので、運動は原点 O に固定されるとあるより、 $x = \pm l$ で合併される流体域 I と II について考へれば良い。水底部分の鉛直運動を $\zeta = ae^{i\omega t}$ で表すと、 $|x| < l$ の部分の水底 $z = -h$ での流体の鉛直速度は $d\zeta/dt = ia\omega e^{i\omega t}$ で与えられる。領域 I と II の速度ポテンシャルを夫々 $\phi_1(x, z)e^{i\omega t}$ および $\phi_2(x, z)e^{i\omega t}$ とする。且ち ϕ_1 と ϕ_2 は Laplace の方程式を満足せねばならぬ。

$$\frac{\partial^2 \phi_i}{\partial x^2} + \frac{\partial^2 \phi_i}{\partial z^2} = 0 \quad (i=1, 2) \quad (1)$$

之に対する水面 ($z=0$) および水底 ($z=-h$) の条件は次のようである。

(i) 領域 I ($|x| > l$)

$$z=0 \quad \frac{\partial \phi_1}{\partial z} = \omega^2 \phi_1 / g, \quad (2) \quad z=-h \quad \frac{\partial \phi_1}{\partial z} = 0 \quad (3)$$

(ii) 領域 II ($|x| < l$)

$$z=0 \quad \frac{\partial \phi_2}{\partial z} = \omega^2 \phi_2 / g, \quad (4) \quad z=-h \quad \frac{\partial \phi_2}{\partial z} = i\omega a \quad (5)$$

領域 I では $+X$ の方向に radiate する波を B , standing wave E とし $\phi_1(x, z)$ は次式で表される。

$$\phi_1(x, z) = BE \frac{-ik(x-l)}{\cosh kh} + \sum_{n=1}^{\infty} C_n e^{-kn(x-l)} \frac{\cos kn(z+h)}{\sin knh} \quad (6)$$

ここで k および kh は 次式で決まる固有値である。

$$\frac{\omega^2 h}{g} = kh \tanh kh = -k_n h \operatorname{tanh} k_n h \quad (7)$$

領域 II では式(5)の左辺を $|x| < l$ で 7-12 項数に展開する。

$$i\omega a = 4ia \sum_{s=0}^{\infty} \frac{(-1)^s}{(2s+1)\pi} \cos \frac{(2s+1)\pi}{2L} x \quad (s \text{ は 整 数}) \quad (8)$$

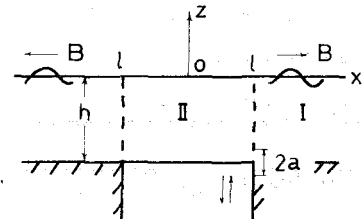


Fig. 1 Definition Sketch

であるから、式(1)と条件(4)(5)を満足する解として次式を得られる。

$$\phi_2^{(1)}(z, z) = 2i \alpha n \frac{h^2}{l} \sum_{s=0}^{\infty} \frac{(-1)^s}{(\mu_s h)^2} \frac{\frac{\partial^s}{\partial z^s} \sinh \mu_s z + \cosh \mu_s z}{\frac{\partial^s}{\partial z^s} \cosh \mu_s z - \cosh \mu_s \sinh \mu_s z} \cos \mu_s z, \quad \mu_s = \frac{(2s+1)\pi}{2h} \quad (9)$$

更に式(5)の代入で $\partial \phi_2 / \partial z = 0$ を満足する解として式(6)の一般形が次式で表はされる。

$$\phi_2^{(0)}(z, z) = (D \frac{\cosh k z}{\cosh k h} + E \frac{\sinh k z}{\sinh k h}) \frac{\cosh k(z+h)}{\cosh k h} + \sum_{n=1}^{\infty} \left(F_n \frac{\cosh k n z}{\cosh k h} + G_n \frac{\sinh k n z}{\sinh k h} \right) \frac{\cosh k(z+h)}{\cosh k h} \quad (10)$$

以下、 $z = 0$ における現象の対称性を考慮して式(9)と式(10) ($E \equiv G_n \equiv 0$) の和として $\phi_2(z, z)$ は次のようになります。

$$\phi_2(z, z) = D \frac{\cosh k z}{\cosh k h} \frac{\cosh k(z+h)}{\cosh k h} + \sum_{n=1}^{\infty} F_n \frac{\cosh k n z}{\cosh k h} + 2i \alpha n \frac{h^2}{l} \sum_{s=0}^{\infty} \frac{(-1)^s}{(\mu_s h)^2} \frac{\frac{\partial^s}{\partial z^s} \sinh \mu_s z + \cosh \mu_s z}{\frac{\partial^s}{\partial z^s} \cosh \mu_s z - \cosh \mu_s \sinh \mu_s z} \cos \mu_s z \quad (11)$$

式(6)と式(11)が表すこれら運動は $z = l$ における mass & energy flux の連続性から次の条件を満足せねばならぬ。即ち

$$x = l \quad \text{で} \quad \phi_1 = \phi_2, \quad \partial \phi_1 / \partial x = \partial \phi_2 / \partial x \quad (12)$$

式(6)と式(11)を上式に代入して次の関係式を得る。

$$(B - D) \frac{\cosh k(z+h)}{\cosh k h} + \sum_{n=1}^{\infty} (C_n - F_n) \frac{\cosh k n(z+h)}{\cosh k h} = 0 \quad (13)$$

$$(B + i D \tanh k h) \frac{\cosh k(z+h)}{\cosh k h} - i \sum_{n=1}^{\infty} (C_n + F_n) \frac{k n \cosh k n(z+h)}{k \cosh k h} = 2 \alpha n \frac{h^2}{l} \cdot \frac{1}{k h} \sum_{s=0}^{\infty} \frac{1}{\mu_s h} \frac{\frac{\partial^s}{\partial z^s} \sinh \mu_s z + \cosh \mu_s z}{\frac{\partial^s}{\partial z^s} \cosh \mu_s z - \cosh \mu_s \sinh \mu_s z} \quad (14)$$

函数形 $\cosh k(z+h) \times \cosh k n(z+h)$ ($n = 1, 2, 3, \dots$) の直交性により上式は右端で $\int_0^h (\cosh k(z+h)) B + i D \tanh k h \cosh k(z+h) dz$ の計算を行なって係数 B, C_n, D, F_n は次のようになることがわかる。

$$B = D = -4 \frac{\alpha g}{l} \frac{\sinh \lambda_o + \sinh k h}{2 \lambda_o + \sinh 2 \lambda_o} e^{-ikh}, \quad (15) \quad C_n = F_n = 4i \frac{\alpha g}{l} \frac{\sinh \lambda_o + \sinh k h}{2 \lambda_n + \sinh 2 \lambda_n} e^{-ikn h} \quad (16)$$

$$z > z' \quad \lambda_o = kh, \quad \lambda_n = knh$$

不透水性常数は決定され、遠波水位変化は確定する。 λ は実数に取ると水位部分の運動は $z = \cos \omega t$ で表はされ、之に対して領域 I の水面波形は次式で表はされる。

$$S_1(z, t) = 4.0 \frac{\sinh k h \sinh \lambda_o}{2 \lambda_o + \sinh 2 \lambda_o} \sin(kz - \omega t)$$

$$- 4.0 \sum_{n=1}^{\infty} \frac{\sinh k h \sinh \lambda_n - \sinh \lambda_o}{2 \lambda_n + \sinh 2 \lambda_n} e^{-ikn h} \cos \omega t, \quad (17)$$

故に発生波（進行波）の振幅と水底運動の振幅の比（反射率） K_w は次式で表はされる。

$$K_w = \frac{4 \sinh \lambda_o}{2 \lambda_o + \sinh 2 \lambda_o} \cdot \sinh k h \quad (18)$$

之は合田(1964)⁽²⁾ 他の方法による結果と一致し、 $h/h = 0.5, 1.0$ 及び 2.0 について示すFig. 2 のようである。

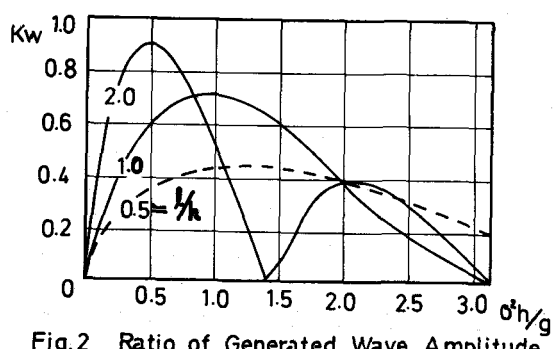


Fig. 2 Ratio of Generated Wave Amplitude to Bottom Plate Amplitude

2. 水面の鉛直運動による波の発生

Fig. 3 に示すように水面での $\zeta = ae^{i\omega t}$ で与へられる鉛直運動によって発生する波は、II では領域 II に対する条件は式(4)(5)の代りに次のようである。

$$Z=0 \text{ で } \frac{\partial \Phi}{\partial Z} = i a \alpha \quad (19), \quad Z=-h \text{ で } \frac{\partial \Phi}{\partial Z} = 0 \quad (20)$$

領域 I に対する遠方オーテンシナル中、は式(6)と同じである。
領域 II に対する条件は、I と同様、考慮すれば次式で表される。

$$\Phi_2(x, z) = \sum_{s=0}^{\infty} \left\{ D_s \frac{\cosh \frac{s\pi z}{h}}{\cosh \frac{s\pi l}{h}} \cos \frac{s\pi z}{h} + 2i \frac{\alpha g}{\sigma} \frac{\mu^2 h}{g} (-1)^s \coth \mu s(z+h) \frac{\cosh \mu s(z+h)}{\sinh \mu s h} \right\} \quad (21)$$

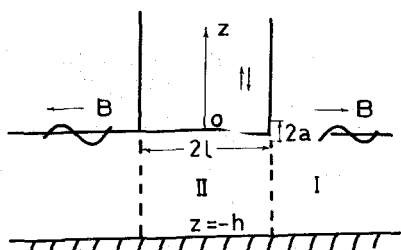


Fig. 3 Definition Sketch

上式と式(6)で $x=l$ の条件式(12)を代入すると

$$B \frac{\cosh k(z+h)}{\cosh kh} + \sum_{n=1}^{\infty} C_n \frac{\cosh k(z+h)}{\cosh kh} = \sum_{s=0}^{\infty} D_s \cos \frac{s\pi z}{h} \quad (22)$$

$$B \frac{\cosh k(z+h)}{\cosh kh} - i \sum_{n=1}^{\infty} C_n \frac{k_n \cosh k_n(z+h)}{k_n \cosh kh} = i \sum_{s=0}^{\infty} \left\{ \frac{s\pi}{kh} D_s \tanh \frac{s\pi l}{h} \cos \frac{s\pi z}{h} - 2i \frac{\alpha g}{\sigma} \frac{\mu^2 h}{g} \frac{\coth \mu s(z+h)}{\sinh \mu s h} \right\} \quad (23)$$

上式と式(6)で I と同様の計算を行って D_s/a_2 を用いた次の連立 1 次方程式を得る。

$$\sum_{s=0}^{\infty} \frac{1 - i \frac{s\pi}{\lambda_0} \tanh \frac{s\pi l}{h}}{1 + (\frac{s\pi}{\lambda_0})^2} D_s = \frac{2}{\lambda_0} \frac{h}{l} \sum_{s=0}^{\infty} \frac{1 - i \frac{\mu s h}{\lambda_0} \coth \mu s h}{(\mu s h / \lambda_0)^2 - 1} \quad (24)$$

$$\sum_{s=0}^{\infty} \frac{1 + i \frac{s\pi}{\lambda_0} \tanh \frac{s\pi l}{h}}{1 - (\frac{s\pi}{\lambda_0})^2} D_s = -2i \frac{1}{\lambda_0} \frac{h}{l} \sum_{s=0}^{\infty} \frac{1 - i \frac{\mu s h}{\lambda_0} \coth \mu s h}{(\mu s h / \lambda_0)^2 + 1} \quad (25)$$

($n = 1, 2, 3, \dots$)

上式の解を $K_0, K_1, \dots, K_s, \dots$ とする。

$$D_s = \frac{\alpha g}{\sigma} K_s \quad (26)$$

したがって

$$\beta = \frac{B}{\alpha g / \sigma} = \frac{1}{N_0} \sum_{s=0}^{\infty} \frac{K_s}{1 + (\frac{s\pi}{\lambda_0})^2} \quad (27) \quad \beta_n = \frac{C_n}{\alpha g / \sigma} = \frac{1}{N_n} \sum_{s=0}^{\infty} \frac{K_s}{1 - (\frac{s\pi}{\lambda_n})^2} \quad (28)$$

$$\text{但し } N_0 = \frac{1}{2} \left(1 + \frac{2\lambda_0}{\mu \sinh 2\lambda_0} \right), \quad N_n = \frac{1}{2} \left(1 + \frac{2\lambda_n}{\mu \sinh 2\lambda_n} \right)$$

こうして各領域の遠方オーテンシナルは確定し、 α を実数とすとときには $\zeta = a \cos \omega t$ に対する領域 I の水面波形は次式の実数部分で与へられる。

$$\zeta(x, t) = -ia \left[\beta e^{-i(kx - \omega t - kl)} + e^{i\omega t} \sum_{n=1}^{\infty} Y_n e^{-\mu_n(x-l)} \right] \quad (29)$$

故に造波率 K_w は

$$K_w = |\beta| = \frac{1}{N_0} \left| \sum_{s=0}^{\infty} \frac{K_s}{1 + (\frac{s\pi}{\lambda_0})^2} \right| \quad (30)$$

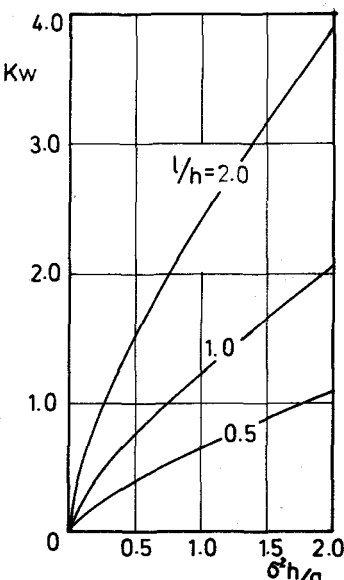
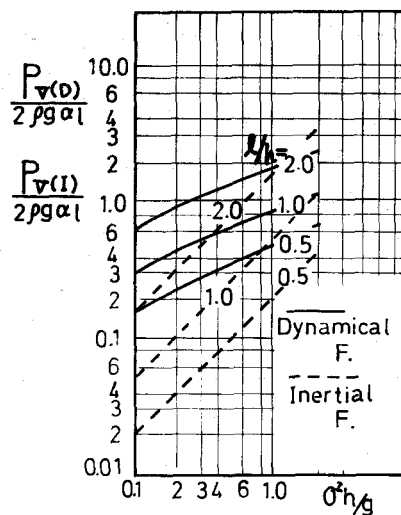
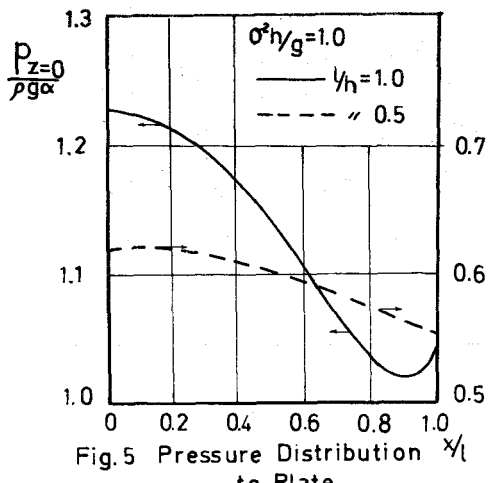


Fig. 4 Ratio of Generated Wave Amplitude to Amplitude of Surface Plate



で表はされ $l/h = 0.5, 1.0, 2.0$ に対する Fig. 4 のようである。

板の下面に作用する流体圧力 $p_{z=0}$ 及び全圧力 P_V は次式で与へられる。

$$\frac{p_{z=0}}{pg\alpha} = -i e^{iat} \sum_{s=0}^{\infty} \left\{ K_s \frac{\cosh \frac{s\pi x}{h}}{\cosh \frac{s\pi l}{h}} + 2i \frac{\theta^2 h}{g} \frac{l}{\ell} \frac{(-1)^s \coth \mu sh}{(\mu sh)^2} \cos \mu s x \right\} \quad (31)$$

$$\frac{P_V}{pg\alpha l} = -i e^{iat} \left[K_0 + \sum_{s=1}^{\infty} \frac{\tanh \frac{s\pi l}{h}}{\sinh \frac{s\pi l}{h}} K_s - 2i \frac{\theta^2 h}{g} \frac{l}{\ell} \sum_{s=0}^{\infty} \frac{\coth \mu sh}{(\mu sh)^3} \right] \quad (32)$$

上述の計算は電子計算機によつて行はれる。例へば $\theta^2 h/g = 0.1, l/h = 1.0$ に対する K_s, β 及び γ_h の数値を示すと Table-1 のようである。又 $\theta^2 h/g = 1.0, l/h = 0.5$ 及び 1.0 に対する压力分布式(31)を示すと Fig.5 のようであり、 $l/h = 0.5, 1.0, 2.0$ に対する式(32)の実数部による P_V の、動圧力の部分と慣性力の部分を示すと Fig.6 のようである。

以上の結果につれては尚実験により 之を検証する予定である。

文 献

り井島, 尾崎, 他(1970)

"水平板による防波堤の算定

の理論的研究", 土木学会

海岸工学論文集

2) Goda, Y. (1964)

"The Generation of Water

Waves with a Vertically

Oscillating Flow at a Channel

Bottom", Rep. No.9, Portland

Harbor Tech. Res. Inst.

Table 1
Numerical Values of $K(s)$, β and $\gamma(n)$ for $\theta^2 h/g = 0.1$ and $l/h = 1.0$

s	$K(s)$	$ K(s) $	β	$ \beta $	
0	$0.310111 + 0.279658i$	0.310111	$0.320691 + 0.000401i$	0.320691	
1	$0.003200 + 0.009642i$	0.010160	$\gamma(n)$	$ \gamma(n) $	
2	$0.000803 + 0.002410i$	0.002541	1	-0.003253 + 0.009701i	0.010232
3	$0.000357 + 0.001056i$	0.001115	2	-0.000798 + 0.002731i	0.002484
4	$0.0001201 + 0.000583i$	0.000617	3	-0.000354 + 0.001034i	0.001084
5	$0.000128 + 0.000366i$	0.000388	4	-0.000199 + 0.000564i	0.000598
6	$0.000089 + 0.000249i$	0.000265	5	-0.000127 + 0.000374i	0.000376
7	$0.000065 + 0.000179i$	0.000191	6	-0.000088 + 0.000240i	0.000256
8	$0.000050 + 0.000134i$	0.000143	7	-0.000065 + 0.000173i	0.000185
9	$0.000040 + 0.000104i$	0.000111	8	-0.000050 + 0.000123i	0.000138
10	$0.000032 + 0.000082i$	0.000088	9	-0.000039 + 0.000100i	0.000107
			10	-0.000032 + 0.000079i	0.000085